

## برآورد اندازه طیفی بردارهای تصادفی پایدار

صفیه محمودی<sup>۱</sup> و فاطمه گلستانه<sup>۲</sup>

### چکیده

مجموع متغيرهای تصادفی مستقل و همتوزيع بعد از تغيير مکان و مقیاس مناسب دارای یک توزيع حدی تحت عنوان توزيع پایدار می‌شود. این خانواده توزيع، توزيع گوسی را نيز دربر می‌گيرد و در حالت غيرگوسی دارای واريانس نامتناهی و دم‌های کلفت می‌باشد. اين ويرگی و همچنین نوع پaramترها اين توزيع را برای مدل‌بندی آماری بسياري از پديدهها مناسب ساخته است. از نظر تئوري بررسی‌های زيادي در مورد برآورد پaramترها يك متغيره صورت گرفته است، اما در مورد توزيع‌های پایدار چندمتغيره نياز به بررسی‌های بيشتری وجود دارد. پaramترها در اين حالت شامل شاخص پایداری، مکان و اندازه طيفی می‌باشد. در اين مقاله برآوردگرهاي اين پaramترها را به طور مختصر معرفی و با شبیه‌سازی و استفاده از اداده‌های واقعی به طور شهودی آن‌ها را مقایسه خواهيم کرد.

واژه‌های کلیدی: توزيع‌های چندمتغيره پایدار، اندازه طيفی،تابع مشخصه، تصوير، شبیه‌سازی.  
رده‌بندی موضوعی (MSC2000): 60G52, 62M15

### ۱ مقدمه

تشخيص نياز دارند. هم‌چنین توزيع‌های گوسی همواره نسبت به ميانگين خود متقارن هستند، اما توزيع‌های غيرگوسی پایدار می‌توانند درجه‌ای دلخواه از چولگی را اختیار کنند.

چگالی احتمال متغيرهای تصادفی  $\alpha$ -پایدار موجود و پيوسته است، اما به جز در چند مورد بقیه فرم مشخص بسته‌ای ندارند. تنها فرم بسته‌ی موجود در مورد اين توزيع‌ها فرم تابع مشخصه‌ی آن‌ها است که البته توسط آماردانان مختلف به شيوه‌های متفاوتی پaramتربندي شده است. به عنوان مثال فرمی که اغلب استفاده می‌شود [۱۰] در حالت يك متغيره به صورت

$$\phi_{\alpha}(t) = \begin{cases} \exp\{-\sigma^{\alpha}|t|^{\alpha}(1 - i\beta sign(t)\tan\frac{\pi\alpha}{4}) + i\mu t\} & \alpha \neq 1, \\ \exp\{-\sigma|t|(1 + i\beta\frac{2}{\pi}sign(t)|t|) + i\mu t\} & \alpha = 1, \end{cases} \quad (1)$$

$\mu \in (-\infty, \infty)$  و  $\beta \in [-1, 1]$  ،  $\sigma \in [0, \infty)$  ،  $\alpha \in (0, 2]$  که

توزيع‌های  $\alpha$ -پایدار کلاس بسيار وسیعی از توزيع‌ها را دربر می‌گیرند و به علت جرم موجود در درم تابع چگالی، اين گروه از توزيع‌ها، به توزيع‌های دم‌سنگین معروف‌اند. جرم احتمال موجود در دم‌های بالابی و پایینی توزيع به عدد  $\alpha$ ، مقداری بين صفر و دو، وابسته است به طوری که هر قدر  $\alpha$  کمتر باشد جرم احتمال در دم‌ها بيشتر است.

داده‌هایی با دم‌های سنگین در زمینه‌های مختلف اقتصادی، ارتباطات، فيزيک و غيره موجوداند که استفاده از توزيع‌های پایدار غيرگوسی به عنوان مدل‌های ممکن برای آن‌ها پیشنهاد می‌شود. چنین مدل‌هایی انعطاف‌پذیری و تغیيرپذیری بيشتری نسبت به توزيع‌های گوسی دارند. توزيع‌های گوسی به طور كامل به وسیله ميانگين و کواريانس شان مشخص می‌شوند اما توزيع‌های پایدار غيرگوسی به پaramترهای بيشتری برای

<sup>۱</sup> دانشكده علوم رياضي، دانشكاه صنعتي اصفهان

<sup>۲</sup> دانشكده علوم رياضي، دانشكاه صنعتي اصفهان

## ۲ معرفی برآوردگرهای پارامترهای بردارهای تصادفی پایدار

### ۱.۲ برآوردگر پرس

پرس خانواده‌ی خاصی از توزیع‌های پایدار متقارن را معرفی کرد و برآوردگرهایی را برای برآورد پارامترهای آن ارایه داد.تابع مشخصه این خانواده در رابطه زیر صدق می‌کند

$$\ln \phi_X(t) = -\frac{1}{2} \sum_{j=1}^m \langle t, \Omega_j t \rangle^{\frac{\alpha}{2}} + i \langle t, \vec{\mu} \rangle. \quad (3)$$

این خانواده را از مرتبه  $m$  گوییم که  $\Omega$  ماتریس نیمه معین مثبت  $p \times p$  است و  $\vec{\mu}$  یک بردار  $1 \times p$  می‌باشد. اگر  $\alpha = 2$  باشد، آن‌گاه تابع مشخصه نرمال  $p$ -متغیره با پارامترهای  $\Omega_j = \Sigma$  و  $\vec{\mu}$  به دست می‌آید. اگر  $\alpha < 2$  باشد، آن‌گاه (۳) لگاریتم تابع مشخصه یک توزیع چندمتغیره پایدار متقارن نامنفرد با شاخص پایداری  $\alpha$  خواهد بود، به این مفهوم که چگالی در فضای  $p$ -بعدی قرار می‌گیرد. فرم (۳) از مرتبه یک را در نظر بگیرید. برای به دست آوردن برآوردگر  $\alpha$ ، ابتدا تابع مشخصه تجربی را به دست می‌آوریم

$$\hat{\phi}_X(t) = \frac{1}{n} \sum_{j=1}^n \exp(i \langle t, x_j \rangle). \quad (4)$$

سپس دو بردار مجزا برای  $t$  به صورت  $t_j \equiv s_j e$  انتخاب می‌کنیم، که  $e$  بردار یکه  $p$ -بعدی  $(1, 0, \dots, 0)$  و  $s_j$  اسکالر می‌باشند. چون

$$\ln |\phi_X(t)| = -\frac{1}{2} \langle t, \Omega t \rangle^{\frac{\alpha}{2}}, \quad (5)$$

برای  $t_1, t_2$  و  $\Omega \equiv [w_{ij}]_{i,j=1}^p$  داریم  $|s_j|^{\alpha} (w_{11})^{\alpha/2} = |\phi_X(t_j)|^2$ . پس با به دست آوردن نسبت دو معادله و جایگذاری  $(t_j, \phi_X(t_j))^{\alpha}$  به دست می‌آید.

می‌باشد، و در حالت چندمتغیره به فرم زیر می‌باشد

$$\phi_\alpha(t) = \begin{cases} \exp\left\{-\int_{S^d} |\langle t, s \rangle|^\alpha (1 - i \text{sign}(\langle t, s \rangle) \tan \frac{\pi \alpha}{4} \Gamma(ds) + i \langle t, \vec{\mu} \rangle)\right\} & \alpha \neq 1, \\ \exp\left\{-\int_{S^d} |\langle t, s \rangle| (1 + i \frac{\pi}{4} \text{sign}(\langle t, s \rangle) \ln |\langle t, s \rangle|) \Gamma(ds) + i \langle t, \vec{\mu} \rangle\right\} & \alpha = 1, \end{cases} \quad (2)$$

که  $\|\mathbf{s}\| = 1 = S^d$  کره واحد در  $\mathbb{R}^d$ ،  $\Gamma$  یک اندازه مثبت معروف به اندازه طیفی بردار تصادفی  $X$ ،  $\vec{\mu}$  یک بردار ثابت در  $\mathbb{R}^d$  و  $\langle t, s \rangle$  ضرب داخلی در فضای اقلیدسی می‌باشد. پارامترهای این مدل  $\vec{\mu}$ ،  $\alpha$  و  $\Gamma$  می‌باشند که  $(\Gamma, \vec{\mu})$  به جز در حالت  $\alpha = 2$  یکتا می‌باشند.

در حالت چندمتغیره گرچه تحقیقاتی انجام شده است اما به نظر می‌رسد به بررسی بیشتری نیاز است. در این زمینه کارهایی مانند روش برآورد و تحلیل چندمتغیره پایدار توسط پرس [۸]، روش شبیه‌سازی نمونه‌هایی از یک توزیع پایدار چندمتغیره توسط مدرس و نولان [۴]، برآورد پارامترهای بردارهای در دامنه جذب توزیع‌های پایدار توسط راچو و زین [۹] در حالت دو متغیره و در حالت چندمتغیره توسط چنگ و راچو [۲]، روش تقریب و محاسبات عددی چگالی‌های پایدار چندمتغیره توسط بایزیکووسکی و همکاران [۱] و نولان و راجپوت [۷] و روش برآورد اندازه طیفی پایدار مبتنی بر تابع مشخصه تجربی و هم‌چنین تصویر یک بعدی داده‌ها توسط نولان و همکاران [۶] و مک‌کلاچ [۳] صورت گرفته است.

این مقاله در ادامه به صورت زیر تدوین شده است. در بخش دوم برآوردگرهای مختلف را معرفی می‌کنیم. در بخش سوم با شبیه‌سازی و استفاده از داده‌های واقعی برآوردگرها را مقایسه می‌کنیم. برای مقایسه اندازه طیفی گسسته و پیوسته را در نظر می‌گیریم. در بخش چهارم نتایج به دست آمده را ارایه خواهیم داد.

گوییم  $Z$  در دامنه جذب  $X$  است، اگر مقادیر  $a_n > 0$  و  $b_n \in R^d$  وجود داشته باشند به طوری که برای  $Z_i$  های مستقل و هم توزیع با  $Z$  داشته باشیم

$$\frac{1}{a_n} \sum_{i=1}^n Z_i - b_n \xrightarrow{d} X.$$

اگر  $\rho = |\mathbf{Z}|$  و  $\Theta = \theta(\mathbf{Z})$  مختصات کروی نظیر  $Z$  به ازای هر  $r$  حقیقی باشند می توان نشان داد

$$\begin{aligned} \lim_{n \rightarrow \infty} \frac{P(\rho > rx, \Theta_1 < \theta_1, \dots, \Theta_{d-1} < \theta_{d-1})}{P(\rho > rx, \Theta_1 < \tilde{\theta}_1, \dots, \Theta_{d-1} < \tilde{\theta}_{d-1})} \\ = r^{-\alpha} \frac{\Phi(\theta_1, \dots, \theta_{d-1})}{\Phi(\tilde{\theta}_1, \dots, \tilde{\theta}_{d-1})}, \end{aligned} \quad (7)$$

که برای  $\alpha \in (0, 2)$  معادل است با

$$\lim_{n \rightarrow \infty} nP(\rho > ra_n, \Theta \leq \vec{\theta}) = r^{-\alpha} \Phi(\vec{\theta}). \quad (8)$$

( $\Phi$ ) تابع توزیع نظیر  $\Gamma$  در مختصات قطبی می باشد. چنگ و راچو با استفاده از روابط (7) و (8) و با در نظر گرفتن  $r = \sqrt{n}$  استفاده از  $\rho = r\theta$  و  $\Theta = \theta$  برآوردگرهایی را برای  $\alpha$  و  $\Gamma$  معرفی، و خواص مجانبی آنها را بررسی کردند.

فرض کنید  $k = k_n$  دنباله ای از اعداد صحیح با  $1 \leq k \leq n$  فرض کنید  $\rho_i, \Theta_i$  مختصات قطبی نظیر  $Z_i$  باشد. برآوردگر ارایه شده برای شاخص پایداری

$$\alpha_n = \alpha_{n,k} = \frac{\ln 2}{\ln \rho_{n-k+1:n} - \ln \rho_{n-2k+1:n}},$$

که  $\rho_k, \rho_{n-k}, \dots, \rho_1$  آمین آماره ترتیبی از بردار  $(\rho_1, \dots, \rho_n)$  می باشد. همچنین برآوردگر ارایه شده برای اندازه طیفی نرمال شده  $r = \sqrt{n}$  در حالت  $\varphi(\vec{\theta}) = \Phi(\vec{\theta})/\Phi(\pi, \dots, \pi)$  به صورت زیر می باشد

$$\varphi_n(\vec{\theta}) = \frac{1}{k} \sum_{i=1}^n \mathbb{1}_{(\Theta_i \leq \vec{\theta}, \rho_i \leq \rho_{n-k+1:n})} \vec{\theta} = (\theta_1, \dots, \theta_{d-1}),$$

برای برآورد ماتریس متقارن  $[w_{ij}] \equiv \Omega$ ، ابتدا توجه کنید که از رابطه (5) و فرم مربعی  $\langle t, \Omega t \rangle$  داریم

$$[-2 \ln |\phi_X(t)|]^{\frac{1}{\alpha}} = \langle t, \Omega t \rangle = \sum_{i=1}^p \sum_{j=1}^p t_i t_j w_{ij}.$$

از طرفی  $\frac{1}{2} \ln |\phi_X(t)|^{\frac{1}{\alpha}}$  مجرا داریم. پس به  $M = p(p+1)/2$  بردار مجرا غیرصفرو مستقل خطی نیاز داریم که آنها را با  $\mathbf{h}_1, \dots, \mathbf{h}_M$  نمایش می دهیم. به این ترتیب رابطه زیر یک دستگاه از  $M$  معادله و  $M$  مجھول به وجود می آورد که می توان  $\Omega$  را به طور یکتا برآورد کرد

$$[-2 \ln |\hat{\phi}_X(h_k)|]^{\frac{1}{\alpha}} = \langle h_k, \hat{\Omega} h_k \rangle, \quad k = 1, \dots, M. \quad (6)$$

برای برآورد پارامتر مکان رابطه (4) را به صورت  $\hat{\phi}_X(t) = \rho(t) \exp[i\theta(t)]$  می نویسیم. این رابطه در مختصات قطبی دارای فرم

$$\hat{\phi}_X(t) \equiv \rho(t) \exp[i\theta(t)]$$

$$\begin{aligned} \rho^2(t) &= \left( \frac{1}{n} \sum_{j=1}^n \cos \langle t, \mathbf{x}_j \rangle \right)^2 + \left( \frac{1}{n} \sum_{j=1}^n \sin \langle t, \mathbf{x}_j \rangle \right)^2, \\ \tan \theta(t) &= \frac{\sum_{j=1}^n \sin \langle t, \mathbf{x}_j \rangle}{\sum_{j=1}^n \cos \langle t, \mathbf{x}_j \rangle}. \end{aligned}$$

پس با توجه به این که  $\langle \vec{\mu}, t \rangle \equiv u(t)$  در قسمت موهومی است داریم  $\hat{\theta}(t) = \theta(t)$ . همچنین اگر  $\mathbf{h}_1^*, \dots, \mathbf{h}_p^*$  مقادیر مجرا و مستقل از بردار  $t$  باشند برای  $j = 1, \dots, p$  داریم  $\mathbf{H} = (\mathbf{h}_1^*, \dots, \mathbf{h}_p^*)'$ . بنابراین اگر  $\hat{\mathbf{H}} = \hat{\theta}(\mathbf{h}_j^*)$  ماتریس  $p \times p$  از مقادیر مجرا و مستقل خطی بردار  $t$  و  $\hat{\theta}(\mathbf{h}_j^*)$  مولفه زام بردار  $U$  باشد، برآورد  $\vec{\mu}$  را می توان توسط  $\hat{\vec{\mu}} = \mathbf{H}^{-1} U$  بدست آورد.

## ۲.۲ برآوردگر RXC

برآوردگرهای پارامترها در این روش بر اساس دم توزیع، و برای بردارهایی که در دامنه جذب یک توزیع پایدار هستند ارایه شده است.

در روش تابع مشخصه معادلهای تجربی  $\phi$  و  $I$ ، یعنی  $\hat{I}_k(t) = -\ln \hat{\phi}_k(t)$  و  $\hat{\phi}_k(t) = (1/k) \sum_{i=1}^k \exp(i\langle t, X_i \rangle)$  را به دست می‌آوریم. سپس برای شبکه مقادیر  $t_1, \dots, t_n \in S_d$  را به عنوان برآورد تابع مشخصه تجربی  $I_X$  در نظر می‌گیریم (توجه کنید که  $.(\alpha_{ECF} = \bar{\alpha})$ .

در روش تصویر بردار تصادفی  $X$  و بردار  $S_d \in t$  را در نظر می‌گیریم. متغیر تصادفی یک بعدی  $\langle t, X \rangle - \alpha$ -پایدار با پارامترهای زیر است

$$\begin{aligned} \sigma^\alpha(t) &= \Re I_X(t) = \int_{S_d} |\langle t, s \rangle|^\alpha \Gamma(ds), \\ \beta(t) &= \sigma^{-\alpha}(t) \int_{S_d} \langle t, s \rangle |\langle t, s \rangle|^\alpha \Gamma(ds) \\ &= \begin{cases} -\Im I_X(t)/(\sigma^\alpha(t) \tan(\frac{\pi\alpha}{2})) & \alpha \neq 1, \\ \frac{\Im [I_X(2t) - 2I_X(t)]}{\frac{2}{\pi}\sigma(t) \ln 2} & \alpha = 1, \end{cases} \\ \mu(t) &= \begin{cases} 0 & \alpha \neq 1, \\ \frac{-2}{\pi} \int \langle t, s \rangle \ln |\langle t, s \rangle| \Gamma(ds) = \frac{-\Im I_X(t)}{\sigma^\alpha(t)} & \alpha = 1. \end{cases} \end{aligned} \quad (10)$$

از این رو برای نمونه  $X_1, \dots, X_n$  و هر  $t_j$  متعلق به شبکه مقادیر  $t_1, \dots, t_n \in S_d$  مجموعه داده‌های یک بعدی  $\langle t_j, X_1 \rangle, \dots, \langle t_j, X_k \rangle$  استفاده از یکی از روش‌های برآورد پارامترهای پایدار یک متغیره، پارامترهای مقیاس  $(\hat{\sigma}(t_j), \hat{\beta}(t_j))$  (و مکان  $\hat{\mu}(t_j)$  وقتی  $\alpha = 1$  است) را برآورد می‌کنیم. سپس مقادیر برآورده شده پارامترها را در رابطه

$$\hat{I}_k(t_j) = \begin{cases} \hat{\sigma}^\alpha(t_j)(1 - i\hat{\beta}(t_j) \tan \frac{\pi\alpha}{2}) & \alpha \neq 1, \\ \hat{\sigma}(t_j)(1 - i\hat{\mu}(t_j)) & \alpha = 1. \end{cases} \quad (11)$$

جاگذاری می‌کنیم. برآورد تصویر  $I_X$  توسط بردار  $\vec{I}_{PROJ,k} = [\hat{I}_k(t_1), \dots, \hat{I}_k(t_n)]'$  به دست می‌آید. توجه کنید

که با در نظر گرفتن  $\Phi(\pi, \dots, 2\pi) = \frac{k}{n}(\rho_{n-k:n})^{\alpha_n}$  می‌توان  $\Phi(\vec{\theta})$  را برآورد کرد.

توجه به این نکته لازم است که  $(\vec{\theta})\varphi$  را به ازای  $r$  های مختلف می‌توان برآورد کرد، یعنی

$$\varphi_n^r(\vec{\theta}) = \frac{r^\alpha}{k} \sum_{i=1}^n \mathbf{1}_{(\Theta_i \leq \vec{\theta}, \rho_i \leq r\rho_{n-k+1:n})}, \quad \vec{\theta} = (\theta_1, \dots, \theta_{d-1}).$$

اما با شبیه‌سازی‌های صورت گرفته مشاهده می‌شود که این تغییر چندانی در نتایج برآورد ندارد.

## ۳.۲ برآورد بر اساس تابع مشخصه تجربی و تصویر داده‌ها

این برآوردهای با فرض صفر بودن  $\vec{\mu}$  و معلوم بودن  $\alpha$  معرفی شده است. البته می‌توان برای برآورد کردن  $\vec{\mu}$  و  $\alpha$ ، مقادیر هر مولفه از دنباله بردارهای  $d$ -بعدی را در نظر گرفت و پارامترهای یک بعدی  $(\hat{\alpha}_j, \hat{\beta}_j, \hat{\sigma}_j, \hat{\mu}_j)$  را برآورد کرد، سپس  $\hat{\vec{\mu}} = (\hat{\mu}_1, \dots, \hat{\mu}_d)$  را به ترتیب به عنوان برآورد شاخص پایداری و بردار مکان  $\vec{\mu}$  در نظر گرفت. تابع مشخصه معرفی شده برای توزیع‌های  $\alpha$ -پایدار به فرم زیر را در نظر بگیرید

$$\phi_X(t) = E \exp\{i\langle X, t \rangle\} = \exp(-I_X(t)), \quad (9)$$

به طوری که

$$\begin{aligned} I_X(t) &= \int_{S_d} \psi_\alpha(\langle t, s \rangle) \Gamma(ds) - i\langle t, \vec{\mu} \rangle, \\ \psi_\alpha(u) &= \begin{cases} |u|^\alpha (1 - i \frac{\Im}{\pi} (u) \tan \frac{\pi\alpha}{2}) & \alpha \neq 1, \\ |u| (1 + i \frac{\Im}{\pi} (u) \ln |u|) & \alpha = 1. \end{cases} \end{aligned}$$

در این روش ابتدا  $I_X(t)$  برآورد می‌شود. به دو روش می‌توان  $I_X(t)$  را برآورد کرد، تابع مشخصه تجربی (ECF) و تصویر یک بعدی داده‌ها (PROJ). سپس اندازه طیفی بر اساس این برآوردهای به دست می‌آید.

خوب برای اندازه طیفی باید شبکه مقادیر بزرگتری را در نظر بگیریم، و در نتیجه پارامترهای بیشتری را برآورد کنیم. توجه کنید که  $\hat{\gamma}$  معمولاً شامل اعداد مختلط می‌باشد، چون ماتریس  $\Psi$  مختلط است و بردارهای  $\vec{I}_{\text{ECF}}$  و  $\vec{I}_{\text{PROJ}}$  مقادیر اختلال در آن‌ها ایجاد خواهد کرد. هم‌چنین اگر تعداد نقاط شبکه مقادیر  $t_1, \dots, t_n$  زوج باشد و به طور یکنواخت روی  $S_d$  پراکنده شده باشند، آن‌گاه برای بعضی مقادیر  $j$  و  $m$ ،  $I_{\mathbf{X}}(-t) = \overline{I_{\mathbf{X}}(t)}$  و در نتیجه  $t_j = -t_m$ ، و در نتیجه  $\psi(-u) = \overline{\psi(u)}$  و پس دستگاه خطی منفرد خواهد شد. این مشکل بزرگی است چون معمولاً می‌خواهیم  $n$  مضری از  $2^d$  باشد. به طور مثال، در مورد  $d = 2$  می‌خواهیم جرم اطراف هر نقطه  $(0, 0)$ ،  $(1, 0)$ ،  $(0, 1)$  و  $(-1, 0)$  را برآورد کنیم که متناظر با مولفه‌های مستقل می‌باشند.

برای بیان مساله بدون اعداد مختلط می‌توان از خواص  $\psi$  و  $I_{\mathbf{X}}$  و یک شبکه متقارن از مقادیر موردنظر استفاده کرد. این به راحتی مشکل قسمت موهمی وزن‌های  $\gamma_j$  را حل می‌کند. روش را در مورد  $R^3$  شرح می‌دهیم. فرض کنید  $n = 2m$  و شبکه مقادیر به صورت  $t_j = s_j = (\cos(2\pi(j-1))/n, \sin(2\pi(j-1))/n)$  در این صورت مولفه‌های  $\vec{I}$  به صورت  $\vec{I}_j = \vec{I}_{j+m}$  و درایه‌های  $\Psi$  به صورت  $\psi_{i,j} = \overline{\psi}_{i+m,j}$  خواهند بود. پس برای هر مشابه  $I_j = \sum_{k=1}^n \Re \psi_{j,k} \gamma_k$  داریم  $\Re I_j = \sum_{k=1}^n \Re \psi_{j,k} \gamma_k$ . از این‌رو اگر بردار (حقیقی)  $\vec{c} = (\Re I_1, \dots, \Re I_m, \Im I_1, \dots, \Im I_m)'$  را به صورت  $A = [a_{i,j}]_{n \times n}$

$$a_{i,j} = \begin{cases} \Re \psi_{i,j} & i = 1, \dots, m \\ \Im \psi_{i,j} & i = 1, \dots, m \end{cases} \quad j = 1, \dots, n$$

تعریف کنیم، داریم

$$\vec{c} = A\vec{\gamma}. \quad (14)$$

که چون در جهات مختلف پارامترهای تصویر را برآورد می‌کنیم، در هر جهت یک برآورد برای  $(z, \hat{\alpha})$  به دست می‌آید که از میانگین آن‌ها می‌توان برای برآورد  $\alpha$  در روش تصویر استفاده کرد.

حالتی را در نظر بگیرید که  $\Gamma$  دارای اندازه طیفی گستته باشد، یعنی

$$\Gamma(\cdot) = \sum_{j=1}^n \gamma_j \delta_{s_j}(\cdot), \quad (12)$$

به طوری که  $\gamma_j \geq 0$  و  $s_j \in S_d$  به ترتیب وزن‌ها و نقاط دارای جرم باشند. در این حالت  $I_{\mathbf{X}}(t) = \sum_{j=1}^n \psi_\alpha(\langle t, s_j \rangle) \gamma_j$  بنابراین برای شبکه مقادیر  $t_1, \dots, t_n$  در  $R^d$  با تعریف ماتریس  $\Psi$  به صورت زیر

$$\begin{aligned} \Psi &= \Psi(t_1, \dots, t_n; s_1, \dots, s_n) \\ &= \begin{bmatrix} \psi_\alpha(\langle t_1, s_1 \rangle) & \dots & \psi_\alpha(\langle t_1, s_n \rangle) \\ \vdots & \ddots & \vdots \\ \psi_\alpha(\langle t_n, s_1 \rangle) & \dots & \psi_\alpha(\langle t_n, s_n \rangle) \end{bmatrix}, \end{aligned}$$

$$\text{برای } [\vec{I}_{\mathbf{X}}(t_1), \dots, \vec{I}_{\mathbf{X}}(t_n)]' = [\gamma_1, \dots, \gamma_n]' \text{ و } \vec{\gamma} = [\gamma_1, \dots, \gamma_n] \text{ داریم}$$

$$\vec{I} = \Psi \vec{\gamma}. \quad (13)$$

اگر  $t_1, \dots, t_n \in R^d$  طوری انتخاب شود که  $\Psi^{-1}$  موجود باشد، آن‌گاه با معکوس کردن این رابطه، یعنی  $\vec{\gamma} = \Psi^{-1} \vec{I}$ ، می‌توان وزن‌ها را برآورد کرد.

برای یک اندازه طیفی در حالت کلی یعنی حالتی که لزوماً گستته نیست یا مکان قرارگرفتن جرم‌ها معلوم نیست، از تقریب گستته  $\Gamma^* = \sum_{j=1}^n \gamma_j \delta_{s_j}$  استفاده می‌کنیم. در این حالت کره توسط  $A_j$ ‌ها با تعدادی مراکز  $s_j$  افزایش می‌شود که هر یک از مولفه‌های بردار  $[\gamma_1, \dots, \gamma_n]' = \vec{\gamma}$  یک تقریب برای جرم تکه‌ای شامل  $s_j$ ،  $i = 1, \dots, n$  باشد. سپس با استفاده از وزن‌های  $\gamma$  و مقادیر  $s_1, \dots, s_n$  را از رابطه (12) می‌توان به دست آورد. لازم به ذکر است که برای به دست آوردن اطلاعات

بردار تصادفی  $\alpha$ -پایدار دو متغیره  $X$  را می‌توان از یک حرکت لوی  $\alpha$ -پایدار  $Z(\theta)$  که کاملاً چوله به راست ( $\beta = 1$ ) و دارای نموهای مستقل و هم توزیع  $dZ(\theta)$  با پارامتر مکان صفر و مقیاس  $\frac{1}{\alpha} d\theta$  هست ساخت، یعنی

$$X \stackrel{d}{=} \int_0^{2\pi} s_\theta \frac{(d\Phi(\theta))^{\frac{1}{\alpha}} dZ(\theta)}{(d\theta)^{\frac{1}{\alpha}}}, \quad (15)$$

(با استفاده ازتابع مشخصه  $X$  رابطه بالا به راحتی قابل اثبات است). در این رابطه اگر  $\Phi(\theta)$  مطلقاً پیوسته باشد، آنگاه عبارت داخل انتگرال  $(\frac{d\Gamma(\theta)}{d\theta})^{\frac{1}{\alpha}} dZ(\theta)$   $s_\theta$  ولی در غیر این صورت اگر  $\Phi$  به اندازه  $\Delta\Phi$  در  $\theta$  پرش داشته باشد،  $\theta$  جرم  $Z_\theta$  را در انتگرال شرکت می‌دهد که  $(d\theta)^{\frac{-1}{\alpha}} dZ(\theta) = Z_\theta$  دارای توزیع  $\alpha$ -پایدار یک متغیره به صورت  $(1, 1, 0)$  و مستقل از  $dZ(\theta')$  برای هر  $\theta \neq \theta'$  می‌باشد.

فرض کنید  $X$  دارای توزیع پایدار دو متغیره با اندازه طیفی  $\Phi(\theta)$ ، به فرم (15) و احتمالاً پارامتر مکان غیر صفر  $(\mu_1, \mu_2)' = \vec{\mu}$  باشد. برای هر  $w \in [0, \pi]$  تصویر زیر را در نظر بگیرید

$$\begin{aligned} Y(w) &= \langle s_w, X \rangle \\ &= \int_0^{2\pi} \cos(\theta - w) \frac{d\Phi(\theta)^{\frac{1}{\alpha}} dZ(\theta)}{(d\theta)^{\frac{1}{\alpha}}} + \langle s_w, \vec{\mu} \rangle, \end{aligned} \quad (16)$$

که  $s_w = (\cos w, \sin w)'$  نقطه‌ای در  $S_d$  خواهد بود. این تصویر دارای توزیع پایدار یک متغیره با پارامتر مقیاس زیر می‌باشد

$$c(w)^\alpha = \int_0^{2\pi} |\cos(\theta - w)|^\alpha d\Phi(\theta).$$

حال انتگرال در رابطه (16) را می‌توان به صورت جمع دو انتگرال مجزا در فاصله  $w - \pi/2$  تا  $\pi/2$  نوشت. در این صورت  $(w, Y(w))$  به جمع پارامتر مکانش به اضافه‌ی دو متغیر تصادفی پایدار کاملاً چوله شده با مکان صفر تجزیه می‌شود.

ماتریس  $A$  نامنفرد و بنابراین معکوس پذیر است پس می‌توانیم توسط  $A^{-1} \vec{c}_{\text{PROJ}}$  برآورد  $\vec{\gamma}$  را به دست آوریم. توجه کنید که با معکوس کردن رابطه‌ی (14) ممکن است مقادیر منفی برای بعضی وزن‌ها به دست آوریم که این نشان‌گر نامعتبر بودن برآورد اندازه طیفی است. مک‌کلاچ [۳] برای رفع این مشکل پیشنهاد کرد سیستم به صورت روش مرربعی محدود شده با شرط  $\geq \vec{\gamma}$  حل شود،

$$\begin{aligned} \text{Min } & \|\vec{c} - A\vec{\gamma}\|^2 = (\vec{c} - A\vec{\gamma})'(\vec{c} - A\vec{\gamma}). \\ & \vec{\gamma} \geq 0 \end{aligned}$$

مشکل دیگری که در مورد روش تابع مشخصه تجربی مشاهده می‌شود این است که، وقتی طول هریک از بردارهای داده‌ها خیلی بزرگ یا خیلی کوچک باشد به خاطر مشکل عددی با جملات  $\exp(i\langle \mathbf{X}, \mathbf{t} \rangle) = \cos\langle \mathbf{X}, \mathbf{t} \rangle + i \sin\langle \mathbf{X}, \mathbf{t} \rangle$  دارای اجرای ضعیفی می‌باشد. وقتی  $|\mathbf{X}|$  خیلی بزرگ باشد جملات خیلی سریع نوسان می‌کنند و در مقابل وقتی  $|\mathbf{X}|$  خیلی کوچک باشد تقریباً اصلاً نوسان نمی‌کنند و در نتیجه رفتار  $I_{\mathbf{X}}(t)$  تحت کنترل نمی‌باشد. پیشنهادی که در این زمینه وجود دارد این است که داده‌ها را با تقسیم به میانه‌ی مقادیر  $|\mathbf{X}_1|, \dots, |\mathbf{X}_k|$  متعادل کنیم.

## ۴.۲ برآوردگر مک‌کلاچ در حالت دو متغیره

فرض کنید  $(X_1, X_2)'$  دارای توزیع دو متغیره پایدار با  $\alpha \neq 1$  باشد. در این حالت می‌توان فرم تابع مشخصه

$$\ln(\phi_X(t)) = \int_{S_d} \psi_\alpha(\langle t, s \rangle) \Gamma(ds) + i\langle t, \vec{\mu} \rangle,$$

را به فرم ساده‌تر

$$\ln(\phi_X(t)) = \int_0^{2\pi} \psi_\alpha(\langle t, s_\theta \rangle) d\Phi(\theta) + i\langle t, \vec{\mu} \rangle,$$

نوشت که در آن  $s_\theta = (\cos \theta, \sin \theta)'$  نقطه‌ای روی دایره واحد در زاویه  $\theta$  می‌باشد.

عبارت (۱۷) نشان می‌دهد که  $C^\alpha(w)$  یک میانگین متحرک از  $d\Phi(\theta)$  است. این میانگین متحرک می‌تواند توسط رابطه

$$\Delta_j = C^\alpha(w_j) \approx \sum_{j-\frac{m}{4}}^{j+\frac{m}{4}} |\cos(w_j - \theta_h)|^\alpha \gamma_h, \quad (19)$$

به طور عددی تقریب زده شود، به طوری که

$$\gamma_h = \Phi(\theta_h + \pi/m) - \Phi(\theta_h - \pi/m). \quad (20)$$

رابطه (۱۹) یک دستگاه از  $m$  معادله و  $m$  مجهول به فرم  $\Delta \approx A\vec{\gamma}$  است که وقتی  $2 < \alpha < A$  نامنفرد باشد از رابطه  $\Delta \approx A^{-1}\vec{\gamma}$  قابل حل می‌باشد. چون  $d\Phi$  روی دایره تعريف می‌شود،  $\gamma_h = \gamma_{m+h}$  و  $\theta_h = \theta_{m+h}$  می‌باشد که از این روابط زمانی که اندیس‌های  $h$  منفی یا بزرگ‌تر از  $m$  هستند می‌توان استفاده کرد. با  $\vec{\gamma}$  برآوردشده از  $\Delta$  می‌توان  $\Phi(\theta_j + \pi/m)$  را با جمع کردن  $\gamma_h$  از صفرتا ز برآورد کرد. توجه کنید که در این روش نیز ممکن است مقادیری منفی برای  $\gamma_h$  به دست آید که با استفاده از روش مربعی محدودشده مطرح شده در قسمت قبل می‌توان این مشکل را حل کرد.

### ۳ شبیه‌سازی و مقایسه برآوردگرها

#### ۱.۳ مقایسه از طریق اندازه طیفی گستته

در این قسمت مثال‌هایی از توزیع پایدار دومتغیره ارایه شده است. در هر مورد ۱۰۰۰۰ داده شبیه‌سازی و پارامتر مکان  $\mu = (0, 0)$  در نظر گرفته شده است.

مثال ۱ داده‌هایی با اندازه طیفی  $\Gamma_1(\cdot)$  =  $j$  در  $\sum_{j=1}^3 (1/3)\delta_{s_j}(\cdot)$  برای  $s_j = (\cos \theta_j, \sin \theta_j) \in S_d$ ،  $\theta_1 = \pi/3$ ،  $\theta_2 = \pi/2$  و  $\theta_3 = 3\pi/2$  و با  $\alpha = 1/25$  شبیه‌سازی شدند.

يعني به صورت  $Y_1(w) = Y_1(w) + Y_2(w) + \langle s_w, \vec{\mu} \rangle$  دارای پارامتر مقیاس  $C(w)$  و  $Y_2(w)$  دارای پارامتر

مقیاس  $C(w + \pi) = 1 - \beta$  است، به طوری که

$$C^\alpha(w) = \int_{w-\pi/2}^{w+\pi/2} \cos(\theta - w)^\alpha d\Phi(\theta), \quad w \in [0, 2\pi]. \quad (17)$$

با شکستن ناحیه انتگرال‌گیری به این دو ناحیه داریم

$$c^\alpha(w) = C^\alpha(w) + C^\alpha(w + \pi),$$

$$\beta(w) = \frac{C^\alpha(w) - C^\alpha(w)}{c^\alpha(w)}$$

و در نتیجه

$$C(w) = c(w) \left( \frac{1 + \beta(w)}{2} \right)^{\frac{1}{\alpha}},$$

$$C(w + \pi) = c(w) \left( \frac{1 - \beta(w)}{2} \right)^{\frac{1}{\alpha}}. \quad (18)$$

فرض کنید  $\mathbf{x}_i = (x_{1i}, x_{2i})'$ ،  $i = 1, \dots, n$ ، یک مجموعه مشاهدات از بردار  $\mathbf{X}$  باشد. مولفه‌های  $X_1$  و  $X_2$  از بردار  $\mathbf{X}$ ، پایدار یک متغیره با  $\alpha$  مشترک هستند که می‌توان پارامترهای آن‌ها،  $(\mu_1, \sigma_1, \alpha)$  و  $(\mu_2, \sigma_2, \alpha)$  را با یکی از روش‌های برآورد پارامترهای یک متغیره، مثلًا روش درستنمایی ماکزیمم، برآورد کرد. برای برآورد اندازه طیفی، ابتدا مقادیر  $x_i$  را با تفاضل برآورد  $\vec{\mu}$  از آن‌ها مرکزی می‌کنیم. سپس برای یک مقدار صحیح بزرگ  $m$  که تقسیم‌بندی بر ۴ است و  $0, 1, \dots, m-1 = j$  قرار می‌دهیم  $y_j = w_j = 2\pi j/m$ . همانند رابطه (۱۶)،  $y_{i(j)} = y_{i(w_j)}$  را از  $\mathbf{x}_i$  مرکزی شده برای هر  $j = 0, 1, \dots, \frac{m}{3}-1$  به دست می‌آوریم و این مقادیر را برای برآورد  $(\beta(w_j), c(w_j))$  با در نظر گرفتن  $\alpha$  برآوردشده و بردار صفر برای  $\vec{\mu}$ ، به کار می‌بریم. آن‌گاه  $(\Gamma_1(w_j), C(w_j), 1, 0, 1, \dots, m-1 = j)$  را با استفاده از (۱۸) برآورد می‌کنیم که به ازای هر برآورد به دست آمده برای  $\beta(w_j)$  و دو مقدار  $c(w_j)$  و  $C(w_j + \pi)$  به دست می‌آید.

برآوردگری ضعیف برای  $\alpha$  می‌باشد و دو برآوردگر دیگر  
برآوردهایی نزدیک به مقدار اصلی را ارایه می‌دهند.

با توجه به شکل ۱، برآوردگر تصویر (نولان) وتابع مشخصه تجربی تقریباً برآوردهای یکسانی را برای اندازه‌ی طیفی به دست می‌دهند. بهترین برآورد در قسمت (۳) به دست آمده است که مورد استقلال را داریم و بدترین آن در قسمت (۴) است که  $\mu$  آن نیز بسیار بد برآورد شده است. در رابطه با برآوردگر RXC مشاهده می‌شود که در تمامی موارد برآوردگر ضعیف اندازه طیفی می‌باشد.

حال برآوردگر اندازه طیفی مطرح شده توسط مک‌کلاچ را در نظر بگیرید. برای برآورد به این روش، داده‌ها در ۳۲ جهت تصویر شدند. سپس داده‌های یک بعدی به دست آمده، با استفاده از روش درستنمایی ماکزیمم و چندک‌ها برآورد شدند. در جدول ۱، برآورد  $\alpha$ ‌ها، توسط روش درستنمایی ماکزیمم، تحت عنوان (M)PROJ، آمده است. برآورد  $\alpha$ ‌ها در مورد روش چندک‌ها همان برآوردها در روش ECF هستند. شکل ۲ برآوردهای به دست آمده توسط این دو روش را نشان می‌دهد. همان‌طور که مشاهده می‌شود به جز در قسمت (۴) در بقیه موارد نتایج یکسانی به دست می‌دهند. نتایج این برآوردگر مشابه با روش تصویر وتابع مشخصه تجربی می‌باشد.

مثال ۵ (داده‌های واقعی) داده‌هایی از نرخ سهام شرکت نوکیما و موتورولا در یک دوره یک‌ساله از ۱۷ ژانویه ۲۰۰۸ تا ۱۴ ژانویه ۲۰۰۹ به دست آمدند ( $n = 252$ ). داده‌ها به وسیله‌ی رابطه  $y_t = \ln(x_{t+1}/x_t)$  تبدیل و به یک توزیع پایدار دو متغیره برآنش داده شدند. پارامترها از روش‌های RXC، تصویر (نولان)، تابع مشخصه تجربی و تصویر (مک‌کلاچ) برآورد شدند. پارامتر  $\mu_1$ ،  $(0, 0)$ ، و پارامتر  $\alpha$  از روش‌های RXC، تصویر (نولان)، تابع مشخصه تجربی و

مثال ۲ داده‌هایی برای حالت متقارن با  $s_j = (\cos \theta_j, \sin \theta_j) \in S_d$ ،  $\Gamma_2(\cdot) = \sum_{j=1}^4 \gamma_j \delta s_j$  برای  $\theta_3 = j$ ، در زوایای  $\theta_1 = \pi/4$ ،  $\theta_2 = 3\pi/4$ ،  $\theta_3 = 1, \dots, 4$  و  $\theta_4 = 7\pi/4$  و  $\alpha = 1/5$  شبیه‌سازی شدند. جرم این زوایا به ترتیب  $15^\circ$ ،  $35^\circ$ ،  $15^\circ$  و  $35^\circ$  انتخاب شد.

مثال ۳ داده‌هایی مربوط به اندازه طیفی  $\alpha = 75^\circ$  و  $\Gamma_2(\cdot) = \sum_{j=1}^4 \delta s_j$  شبیه‌سازی شدند،  $s_j = (\cos((j-1)\pi/2), \sin((j-1)\pi/2)) \in S_d$  که  $j = 1, \dots, 4$ ، مطابق با مولفه‌های مستقل می‌باشند.

مثال ۴ داده‌هایی از  $75^\circ$  و از اندازه‌ای هموارتر مطابق با  $\Gamma_2(\cdot) = \sum_{j=1}^{19} \delta s_j$  شبیه‌سازی شدند. برای  $S_d$  برای  $j = 0, \dots, 19$

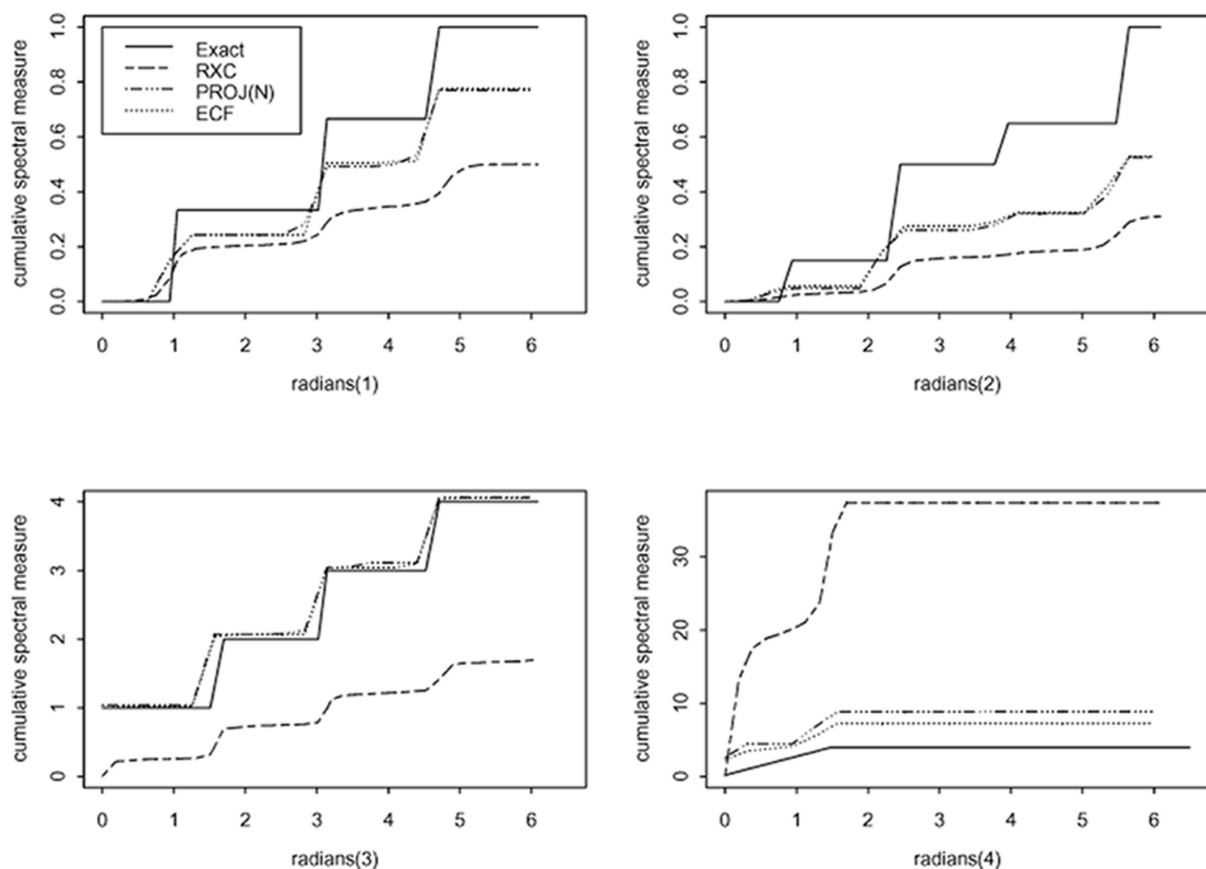
شکل ۱ برآورد اندازه طیفی تجمعی مربوط به اندازه طیفی  $\Gamma_i$ ،  $i = 1, 2, 3, 4$ ، را نشان می‌دهد. در روش تصویر (نولان) داده‌ها در ۲۰ جهت تصویر شده‌اند. جهت‌های تصویر توسط رابطه  $i = 19, \dots, 0$  به دست آمده‌اند. هم‌چنین برآوردهای تابع مشخصه تجربی از داده‌های تعديل شده به وسیله‌ی میانه به دست آمده‌اند. در مورد برآوردگر RXC نیز از ۲۰۰۰ داده‌ی انتهایی استفاده شده است. مقادیر  $\alpha$  برآورد شده در جدول ۱ قابل مشاهده است. توجه کنید که در روش تصویر یک بعدی داده‌ها، پس از تصویر داده‌ها در هر جهت، از روش چندک‌ها برای برآورد  $\alpha$  و پارامترهای دیگر توزیع‌های یک بعدی استفاده شده است.

برآوردها بعد از تفاصل مقدار  $(\mu_1, \mu_2) = \mu$  برآورد شده از داده‌ها به دست آمده‌اند. مشاهده می‌شود که  $\mu$  در قسمت (۴) که جرم فقط در ربع اول وجود دارد بسیار بد برآورد شده است. در مورد برآورد  $\alpha$  ها مشاهده می‌شود که برآوردگر RXC

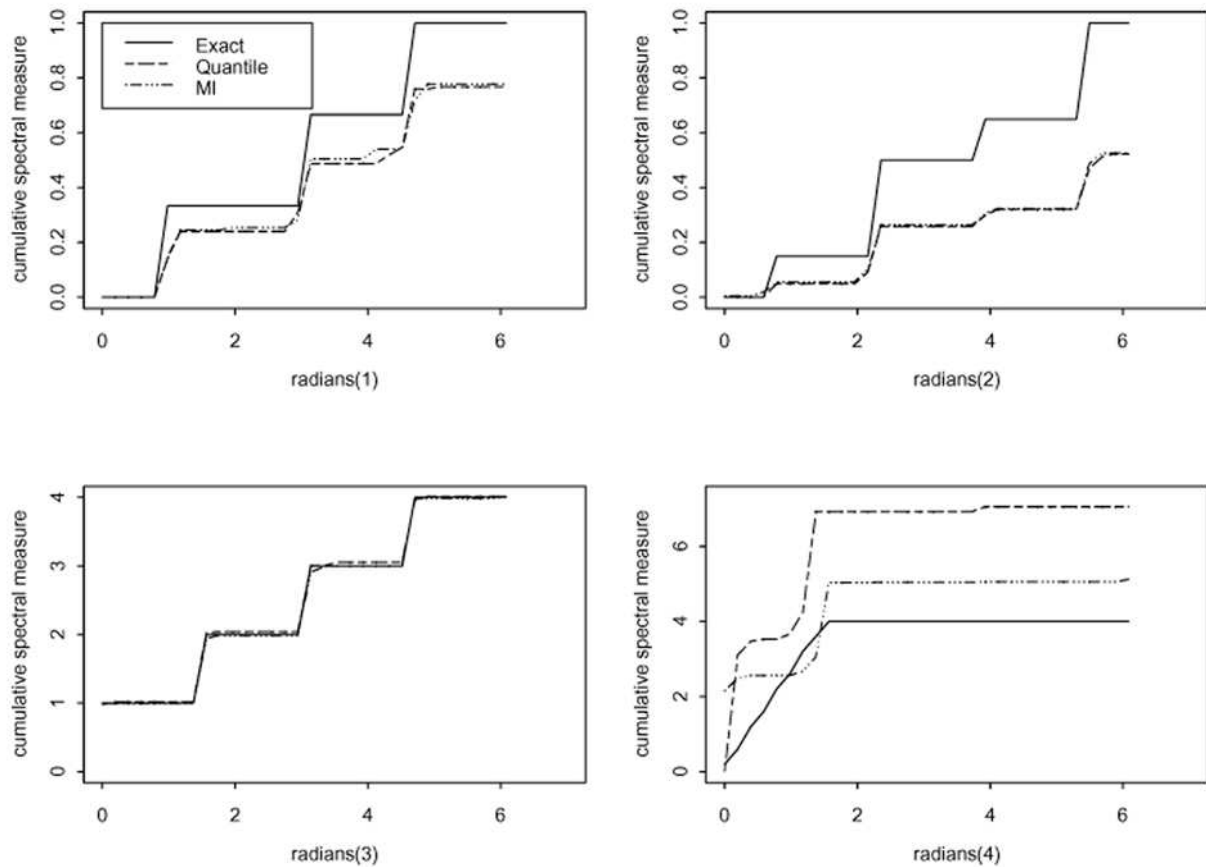
نمودار  $\alpha$  بهدست آمده از تصویر در جهت‌های مختلف را تصویر (مک‌کلاچ) به ترتیب  $1/491, 1/521, 1/520$  و  $1/521$  برآورد شد. شکل ۳، اندازه طیفی برآورده شده و نشان می‌دهد.

جدول ۱. برآورده  $\alpha$  بهدست آمده توسط برآوردهای مختلف.

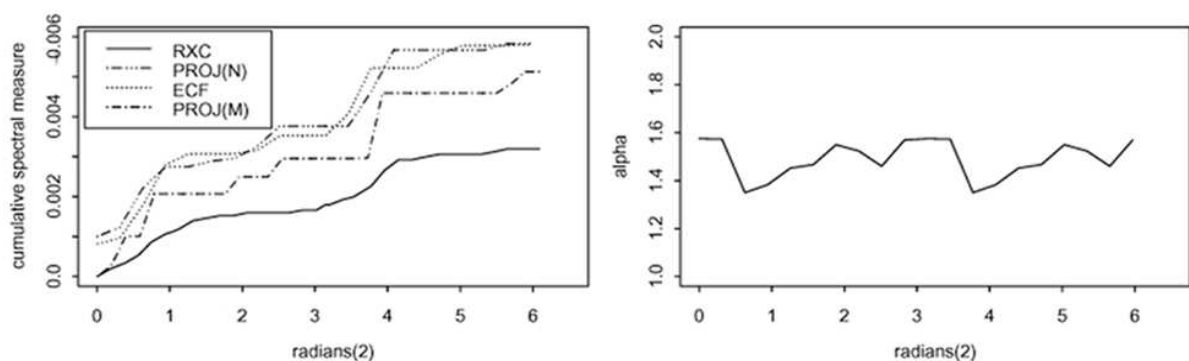
	(۱)	(۲)	(۳)	(۴)
مقادیر اصلی (Exact)	$1/25$	$1/5$	$0/75$	$0/75$
RXC برآورده	$1/404$	$1/562$	$0/652$	$1/206$
PROJ(N) برآورده	$1/261$	$1/508$	$0/766$	$0/765$
ECF برآورده	$1/261$	$1/505$	$0/761$	$0/766$
PROJ(M) برآورده	$1/265$	$1/514$	$0/759$	$0/700$
$\mu_1$	$-0/039$	$0/009$	$-0/050$	$-13/855$
$\mu_2$	$-0/056$	$0/010$	$-0/261$	$-12/128$
ضریب مقیاس استفاده شده	$0/981$	$0/698$	$2/107$	$36/650$



شکل ۱. اندازه طیفی تجمعی داده‌های شبیه‌سازی شده و برآوردهای برآوردهای مختلف.



شکل ۲. اندازه طیفی تجمعی داده‌های شبیه‌سازی شده و برآوردهای برآوردهای مک‌کلاج با برآوردهای یک بعدی توسط روش درستنمایی ماکریم و روش چندک‌ها.



شکل ۳. اندازه طیفی برآورده شده و  $\alpha$ ‌های بدست آمده از تصویر درجهت‌های مختلف برای داده‌های نرخ سهام شرکت نوکیا و موتورولا.

### ۳.۳ مقایسه از طریق اندازه طیفی پیوسته

اگر به برآوردهای به دست آمده در قسمت‌های قبل توجه کنیم می‌بینیم که برآوردهای PROJ(N) و PROJ(M) تقریباً یکسان و در بیشتر موارد با برآوردهای ECF روی هم قرار می‌گیرند. برآوردهای به دست آمده با این سه روش زمانی که استقلال وجود دارد بسیار خوب و هر چه پراکنده‌گی جرم روی دایره بیشتر باشد بهتر جواب می‌دهند. با توجه به اهمیت برآورد اندازه طیفی و وابسته بودن اکثر محاسبات بردارهای تصادفی پایدار به این پارامتر لازم است بین این برآوردهای مقایسه‌ی بیشتری صورت گیرد، از این رو برای مقایسه عمل کرد برآوردهای، حالتی را در نظر گرفتیم که اندازه طیفی واقعی گستته نباشد یعنی فرض کردیم اندازه طیفی  $\Gamma$  دارای چگالی بتا باشد.

$$\frac{d\Phi(\theta)}{d\theta} = \frac{1}{B(\alpha_0, \beta_0)} \frac{1}{2\pi} \left( \frac{\theta}{2\pi} \right)^{(\alpha_0-1)} \left( 1 - \frac{\theta}{2\pi} \right)^{(\beta_0-1)},$$

$$0 < \theta < 2\pi.$$

برای انجام مقایسه ابتدا چگالی طیفی را تقسیم‌بندی و با انتگرال‌گیری روی قسمت‌های به دست آمده جرم نقاط را به دست آوردیم و میانه تقسیم‌بندی‌ها را به عنوان مکان جرم‌ها در نظر گرفتیم، یعنی تقریب گستته‌ی اندازه طیفی واقعی را محاسبه کردیم. سپس با این مقادیر داده‌های پایدار با  $\alpha$  دلخواه را تولید کردیم و برآوردهای مختلف را برای برآورد پارامترهای توزیع استفاده کردیم.

مثال ۶ در این مثال توزیع  $(\alpha_0/5, \beta_0/3)$  با  $\alpha = 1/25$  و  $\beta_0 = 1/75$  را  $\hat{k}_{2,1}$  قسمت کردیم و  $\hat{k}_{2,1}$  را با  $\hat{c}(X_1)$  می‌نماییم. در نظر گرفتن مکان صفر تولید کردیم. برای برآورد داده‌ها را در ۲۰۰ جهت تصویر کردیم. شکل ۴ و جدول ۳ برآوردهای

### ۲.۳ مقایسه از طریق محاسبه ضربت تصویر کانتر

اگر چگالی طیفی متقارن باشد  $(\beta(\cdot) \equiv 0)$ . رگرسیون  $X_2$  روی  $X_1$  خطی می‌شود. یعنی  $E(X_2|X_1) = k_{2,1}X_1$  به طوری که

$$\begin{aligned} k_{2,1} &= \frac{[X_2, X_1]_\alpha}{c^\alpha(X_1)} \\ &= \frac{1}{c^\alpha(X_1)} \int_0^{2\pi} \sin \theta (\cos \theta)^{<\alpha-1>} d\Phi(\theta), \end{aligned} \quad (21)$$

و  $(\hat{c}(X_1) = \int_0^{2\pi} |\cos \theta|^{\alpha} d\Phi(\theta))$  که  $k_{2,1}$  را ضربت تصویر کانتر گوییم. اما اگر متقارن نباشد،  $E(X_2|X_1)$  تابع غیرخطی از  $X_1$ ، که هنوز شامل  $k_{2,1}$  و توابع دیگری از  $d\Phi$  است می‌شود [۱۰]. توانایی روش‌های برآورد پارامترهای توزیع پایدار چندمتغیره برای درست برآورد کردن چنین ضربت تصویری می‌تواند یک معیار مهم برای ارزیابی شایستگی آن‌ها باشد.

مثال ۲ و ۳ را در نظر بگیرید. جدول ۲،  $\hat{c}(X_1)$  به دست آمده توسط پارامترهای برآورد شده با روش‌های مختلف را نشان می‌دهد. توجه کنید که در حالتی که  $\alpha < 1$  در زاویه صفر تعریف نمی‌شود، بنابراین نمی‌توان  $k_{2,1}$  را محاسبه کرد.

همان‌طور که مشاهده می‌شود به جز در مورد آخر که برآورد مناسبی از اندازه طیفی وجود دارد، در بقیه موارد فاصله زیادی با مقادیر اصلی  $\hat{c}(X_1)$  و  $k_{2,1}$  موجود است. به ویژه در مورد برآوردهای برآوردهای RXC بیشترین فاصله وجود دارد.

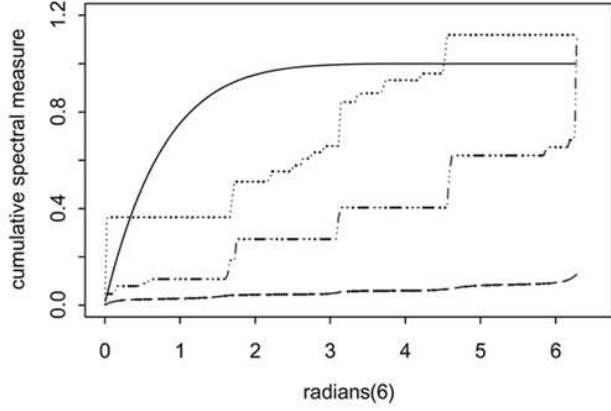
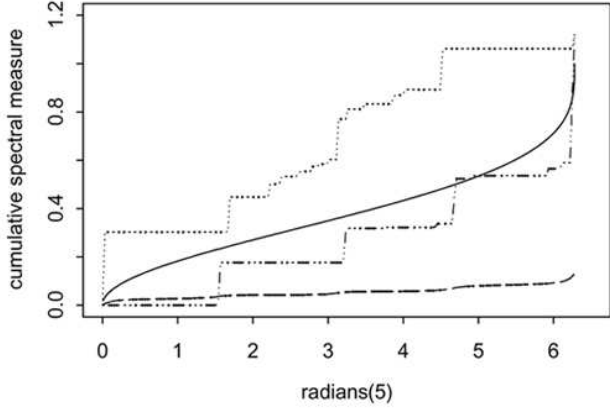
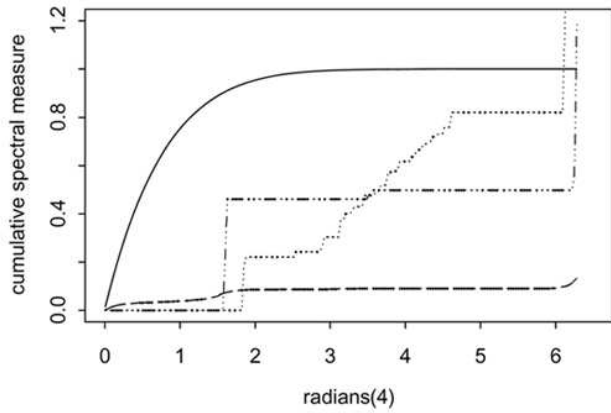
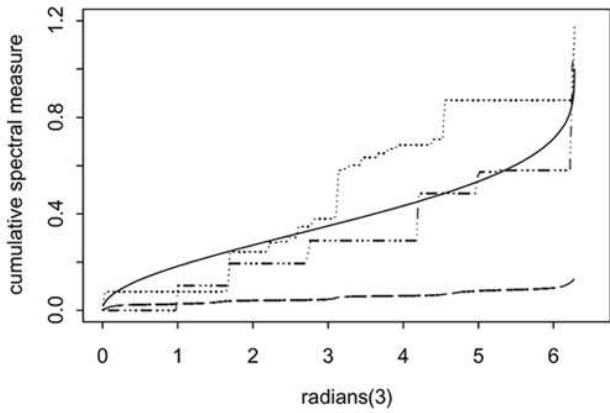
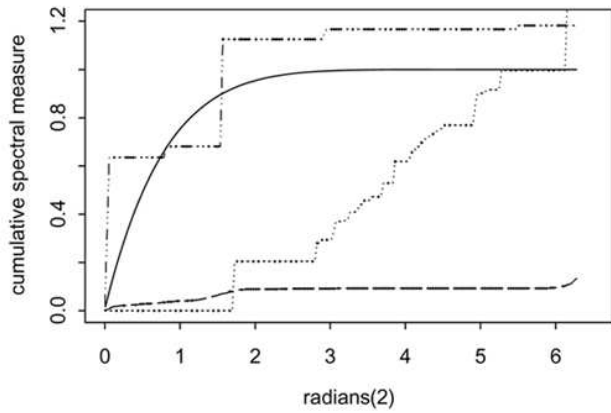
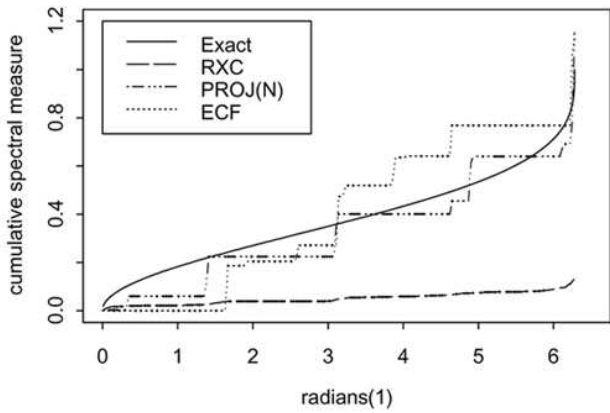
جدول ۲. مقادیر  $\hat{c}(X_1)$  و  $\hat{k}_{2,1}$  به دست آمده توسط پارامترهای

برآورد شده با روش‌های مختلف.

	مثال ۲ $\hat{c}(X_1)$	مثال ۳ $\hat{k}_{2,1}$	مثال ۳ $\hat{c}(X_1)$
(Exact)	$0/707$	$-0/400$	$2/000$
RXC	$0/347$	$-0/172$	$1/007$
PROJ(N)	$0/459$	$-0/298$	$2/075$
ECF	$0/459$	$-0/303$	$2/036$
PROJ(M)	$0/459$	$-0/291$	$2/047$

به ترتیب در طرف چپ و راست شکل نمایش داده شده است.

به دست آمده را به ترتیب افزایش  $n$  از بالا به پایین نمایش  $\text{beta}(1, 8)$  و  $\text{beta}(5, 3)$  می‌دهد. نمودار مربوط به



شکل ۴. اندازه طیفی تجمعی داده‌های شبیه‌سازی شده و برآوردهای برآوردهای مختلف.

جدول ۳. برآوردهای  $\alpha$  و  $\mu$  به دست آمده از روش‌های مختلف برای توزیع‌های بتا استفاده شده.

$\alpha = 1/25 \quad \hat{\mu} = (0, 0)$	beta(0/5, 0/3)			beta(1, 8)		
	(۱)	(۲)	(۵)	(۲)	(۴)	(۶)
RXC برآورد	1/162	1/139	1/195	1/163	1/133	1/202
PROJ(N) برآورد	1/204	1/200	1/248	1/225	1/249	1/255
ECF برآورد	1/210	1/224	1/249	1/257	1/239	1/260
$\mu_1$	1/299	1/298	1/298	2/263	2/220	1/286
$\mu_2$	-0/293	-0/269	-0/272	2/282	2/353	-0/224
ضریب مقیاس استفاده شده	1/220	1/226	1/188	1/269	1/275	1/192

داده‌ها کم کردیم، هم‌چنین در روش تابع مشخصه تجربی داده‌ها را تعدیل کردیم. با توجه به شبیه‌سازی‌های صورت گرفته مشاهده شد که برآوردهای RXC در برآوردهای  $\alpha$  و اندازه طیفی دارای تغییرپذیری بیشتری بود و نتایج رضایت‌بخشی نداشت. برآوردهای تصویر نولان در بهترین شرایط یعنی نمونه زیاد و تعداد جهات تصویر زیاد بهترین نتیجه را برای برآوردهای  $\alpha$  و اندازه طیفی، به خصوص زمانی که اندازه طیفی پیوسته بود، ارایه می‌داد. برآوردهای تصویر مشخصه تجربی با این که به اندازه‌ی روش تصویر قدرتمند نبود اما تقریباً در تمامی موارد نسبت به برآوردهای RXC بهتر عمل می‌کرد. زمانی که اندازه طیفی گسته شده بود برآوردهای تصویر مک‌کلاچ، و برآوردهای تصویر و تابع مشخصه تجربی نولان نتایج تقریباً مشابهی را ارایه می‌دادند. به طور کلی در دو حالت اندازه طیفی گسته و اندازه طیفی پیوسته هر چه جرم به طور یکنواخت‌تر پراکنده شده بود برآوردهای نتیجه بهتری را ارایه می‌دادند.

مشاهده می‌شود که در مورد beta(0/5, 0/3) برآوردهای تصویر (نولان) نسبت به دو برآوردهای دیگر بهتر عمل می‌کند، اما در مورد beta(1, 8) هر سه برآوردهای تقریباً نتایج نامطلوبی را ارایه می‌دهند. در واقع این حالت مانند مثال ۴ در حالت گسته است که جرم فقط در ربع اول محور مختصات وجود داشت.

#### ۴ نتیجه‌گیری

ابتدا به معرفی برآوردهای پارامترها به ویژه اندازه طیفی پرداختیم. سپس با شبیه‌سازی واستفاده از داده‌های واقعی به بررسی روش‌های معرفی شده پرداختیم. هم‌چنین توانایی این روش‌ها را با استفاده از اندازه طیفی پیوسته مورد بررسی قرار دادیم. برآوردهای مورد بررسی شامل RXC، تصویر مک‌کلاچ، تصویر و تابع مشخصه تجربی بودند. در بررسی از هشتادمین درصد داده‌ها برای روش RXC استفاده کردیم. قبل از بررسی به جز موارد ذکر شده مقدار برآوردهای پارامتر را از

#### مراجع

- [1] Byczkowski, T., Nolan, J.P. and Rajput, B. (1993), *Approximation of multidimensional stable densities*, J. of Multivariate Analysis, 46, 13-31.
- [2] Cheng, B.N. and Rachev, S.T. (1995), *Multivariate stable future prices*, Mathematical Finance, 5, 133-153.

- [3] McCulloch, J.H. (2000), *Estimation of the bivariate stable spectral representation by the projection method*, Computational Economics, 16, 47-62.
- [4] Modarres, R. and Nolan, J.P. (1994), *A method for simulating stable random vectors*, Computational Statistics, 9, 11-19.
- [5] Nolan, J.P. and Panorska, A.K. (1997), *Data analysis for heavy tailed multivariate samples*, Stochastic Models, 13, 687-702.
- [6] Nolan, J.P., Panorska, A. and McCulloch, J. H. (2001), *Estimation of stable spectral measures*, Mathematical and Computer Modelling, 34, 1113-1122.
- [7] Nolan, J.P. and Rajput, B. (1995), *Calculation of multidimensional stable densities*, Communications in Statistics - Simulation and Computation, 24, 551-566.
- [8] Press, S.J. (1972), *Estimation in univariate and multivariate stable distributions*, J. of the American Statistical Association, 67, 842-846.
- [9] Rachev, S.T. and Xin, H. (1993), *Test for association of random variables in the domain of attraction of multivariate stable law*, Probability and Mathematical Statistics, 14, 125-141.
- [10] Samorodnitsky, G. and Taqqu, M. (1994), *Stable Non-Gaussian Random Processes*, Chapman and Hall, New York.